

# **Appunti di Scienza delle Costruzioni**

## **Capitolo 03a**

### **Introduzione alla teoria tecnica della trave**



I contenuti del seguente documento sono protetti sotto licenza [Creative Commons BY-NC-SA 4.0](#): sono quindi ammesse la **condivisione**, la **ridistribuzione** e la **modifica** del materiale ivi contenuto, sotto le seguenti condizioni:

- **Attribuzione**: nel documento originale e nelle sue modifiche deve sempre figurare il nome reale o lo pseudonimo dell'autore, nonché la bibliografia originale;
- **Non-Commerciale**: è vietato qualsiasi utilizzo del presente documento e dei suoi contenuti a scopo commerciale e/o pubblicitario; ciò include la rivendita dello stesso o di parte dei suoi contenuti, ma è permessa la vendita a prezzo di stampa;
- **Share-Alike**: (it: "*Condividi allo stesso modo*") qualsiasi ridistribuzione del documento modificato o di parte di esso deve essere reso disponibile sotto la stessa licenza dell'originale, o sotto licenza ad essa compatibile.

Si chiede inoltre, anche se non è espressamente vietato, di non ridistribuire tale documento o parte dello stesso su piattaforme cloud private per pubblicizzare associazioni o eventi.

### DISCLAIMER GENERALE:

L'autore - [PioApocalypse](#) - non si assume alcuna responsabilità per l'uso improprio dei contenuti di questo documento, né si ritiene responsabile della performance - positiva o negativa che sia - dello studente in sede d'esame.

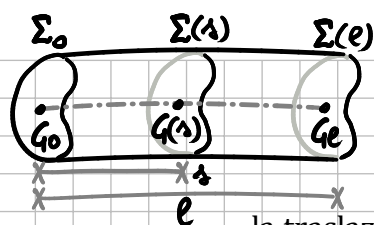
Il materiale didattico qui fornito è da considerarsi come un supplemento al materiale indicato dal docente della materia, e trova le sue utilità principali nel riepilogo di lunghi segmenti del programma e nella spiegazione di determinati argomenti in cui lo studente potrebbe aver riscontrato difficoltà. Alcuni termini e semplificazioni qui utilizzati potrebbero non essere idonei durante la discussione degli argomenti del corso con il docente in sede d'esame, e sono proposti solo al fine di aiutare lo studente con la comprensione della materia.

Si prega, infine, di segnalare eventuali errori trovati all'interno del documento all'indirizzo e-mail indicato sulla [repository ufficiale](#), presso la quale è anche possibile trovare un link per chiunque desiderasse fare una piccola donazione all'autore.

Si ringrazia in anticipo per la cooperazione.

- PioApocalypse

# TRAVI



La trave è un particolare corpo continuo generato dalla traslazione nello spazio di una regione regolare piana lungo una curva chiamata ASSE.

La superficie rimane piana e ortogonale all'asse durante la traslazione. Per l'asse passa sempre il baricentro G della sezione.

L'intersezione della trave con un qualsiasi piano ortogonale all'asse forma la SEZIONE RETTA.

$$\begin{array}{l} \Sigma(s) \text{ "SEZIONE RETTA"}; \quad \Sigma(0) \text{ e } \Sigma(l) \text{ "BASI DELLA TRAVE"} \\ \text{Se } \Sigma(s_1) = \Sigma(s_2) \\ \text{con } s_1 \neq s_2; s_1, s_2 \in [0, l] \\ \text{(Siano pure } s_1 = 0 \text{ e } s_2 = l) \end{array} \Rightarrow \text{"TRAVE A SEZIONE COSTANTE"}$$

Ovviamente  $ds = \| \dot{\gamma} \| dt$  dove  $\gamma$  è la curva dell'asse della trave

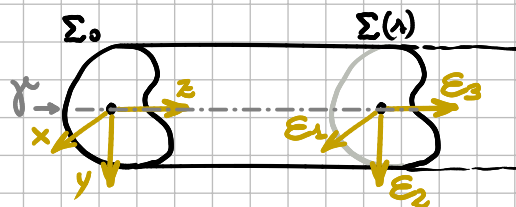
Se  $\gamma$  fosse una retta, parleremmo di trave AD ASSE RETTILINEO.

Lavorando proprio con una trave ad asse rettilineo, consideriamo due sistemi di riferimento, entrambi baricentrici, uno globale ed uno locale.

▷ Sistema globale  $(G_0, x, y, z)$

Vettori  $\hat{e}_1, \hat{e}_2$  e  $\hat{e}_3$

Segue la sezione di base  $\Sigma_0$



▷ Sistema locale  $(G_s, E_1, E_2, E_3)$

Vettori  $\hat{e}_1, \hat{e}_2$  ed  $\hat{e}_3$

Segue la sezione retta  $\Sigma(s)$

Vale che:

$$\begin{cases} x = E_1 \\ y = E_2 \\ z = E_3 + s \end{cases} \quad \hat{e}_j = \hat{e}_j \quad \forall j \in \{1, 2, 3\}$$

La frontiera della trave (superficie totale)

è data dalla somma di 3 quote:  $\partial T = \Sigma_0 + \Sigma_l + \underbrace{\partial_e T}_{\text{MANTELLO DELLA TRAVE}}$

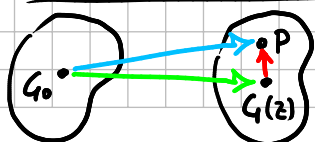
IPOTESI DI TRAVE LUNGA:  $l \gg d$

Per poter studiare la trave sotto ipotesi di monodimensionalità, è necessario che la lunghezza della stessa sia molto maggiore del diametro della sezione retta, ossia la massima distanza possibile tra due punti della sezione.

## SPOSTAMENTI GENERALIZZATI

Lo studio della cinematica delle travi avviene sotto ipotesi ben precise:

- Valgono tutte le ipotesi della teoria lineare - deformazioni infinitesime e piccoli spostamenti;  $\mapsto X \cong K$
- Il materiale è omogeneo, elastico lineare ed isotropo;
- Nel passaggio dalla configurazione indeformata a quella deformata, la sezione retta della trave subisce atto di moto rigido e infinitesimo, senza presentare deformazioni (ipotesi comportamentale).



$$\begin{array}{l} \vec{x} = [0 \ 0 \ z] = z \hat{e}_3 \\ \vec{y} = x \hat{e}_1 + y \hat{e}_2 + z \hat{e}_3 \\ \vec{y} - \vec{x} = x \hat{e}_1 + y \hat{e}_2 \end{array}$$

Se l'atto di moto è rigido, sappiamo dalla Meccanica Razionale che:

$$\underline{u}_p(\underline{y}) = \underline{v}(\underline{x}) + \underline{\varphi} \wedge (\underline{y} - \underline{x}) = \text{TRASLAE. RIGIDA} + \text{ROTAZ. RIGIDA}$$

$$\begin{cases} \text{TERNA GLOBALE: } \underline{u}(x, y, z) = \underline{v}(z) + \underline{\varphi}(z) \wedge (x \hat{e}_1 + y \hat{e}_2) \\ \text{TERNA LOCALE: } \underline{u}(E_1, E_2, E_3) = \underline{v}(E_3) + \underline{\varphi}(E_3) \wedge (E_1 \hat{e}_1 + E_2 \hat{e}_2) \end{cases}$$

Ricordando che  $\underline{z} = E_3$ ,  $\hat{e}_j = \hat{E}_j$

$\underline{v}$  e  $\underline{\varphi}$  prendono il nome di SPOSTAMENTI GENERALIZZATI, dove l'aggettivo "generalizzati" indica che essi descrivono in maniera macroscopica lo spostamento di tutti i punti della sezione retta.

$\underline{u}(x, y, z)$  prende il nome di CAMPO CINEMATICO DEGLI SPOSTAMENTI, ed è un vettore di cui è possibile conoscere le componenti:

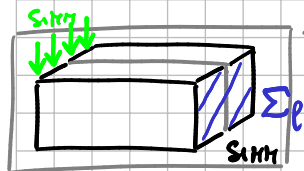
$$\text{Se } \underline{\varphi} \wedge (\underline{y} - \underline{x}) = \begin{vmatrix} \hat{e}_1 & \hat{e}_2 & \hat{e}_3 \\ \varphi_x & \varphi_y & \varphi_z \\ x & y & 0 \end{vmatrix} = \begin{bmatrix} -y\varphi_z(z) \\ +x\varphi_z(z) \\ y\varphi_x(z) - x\varphi_y(z) \end{bmatrix}$$

Dunque:

$$\begin{cases} u_x(x, y, z) = v_x(z) - \varphi_z(z) \cdot y \\ u_y(x, y, z) = v_y(z) + \varphi_z(z) \cdot x \\ u_z(x, y, z) = v_z(z) - \varphi_y(z) \cdot x + \varphi_x(z) \cdot y \end{cases}$$

Un'ulteriore semplificazione si ha nel caso di trave piana.  
Cosa significa?

TRAVE CONSIDERATA PIANA: struttura sollecitata da forze esterne in modo tale da poter identificare un piano di simmetria materiale e simmetria di carico, in cui andrà a giacere l'asse della trave in configurazione deformata.



Per ortogonalità della sezione retta rispetto all'asse della trave,  $\Sigma_l$  non può abbandonare il piano y-z. Quindi:

$$\varphi_y(z) = 0$$

(non sono ammesse rotazioni attorno a y)

Di conseguenza:  $v_x(z) = 0$

Infatti, poiché  $\underline{v}, \underline{u} \in \pi(y-z)$ :  $u_x = 0$

$$\rightarrow 0 + \varphi_z(z)y = 0 \rightarrow \varphi_z(z) = 0$$

(non sono ammesse rotazioni attorno a z)

Riassumendo:

- Niente spostamenti al di fuori del piano  $\pi$ ;  $v_x = 0$
  - Non sono ammesse rotazioni intorno a y o z;  $\varphi_y = \varphi_z = 0$
  - $\pi$  è piano di simmetria (geometrico, materiale e di carico)
- $$\begin{cases} u_y = v_y(z) \\ u_z = v_z(z) + y \cdot \varphi_x(z) \end{cases} \quad \underline{u} \neq \underline{u}(x)$$

Un'ulteriore semplificazione giunge poi dall'ipotesi comportamentale: è atteso che le uniche componenti non nulle delle deformazioni siano  $\epsilon_z, \epsilon_{xz}, \epsilon_{yz}$ .

## DEFORMAZIONI GENERALIZZATE

A partire dal campo di spostamenti espresso in precedenza, è possibile determinare le corrispondenti deformazioni infinitesime mediante le equazioni indefinite di congruenza:

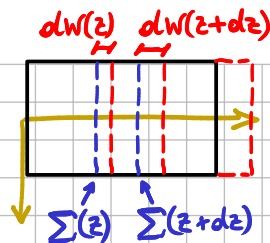
$$\underline{\epsilon}(\underline{y}) = \frac{1}{2} (\nabla \underline{u}(\underline{y}) + \nabla \underline{u}(\underline{y})^T) \quad \text{ma } \epsilon_x = \epsilon_y = \epsilon_{xy} = 0$$

## DEFORMAZIONE ASSIALE (O ESTENSIONALE):

$w(z) \equiv$  traslazione lungo  $z$

Consideriamo ora un elemento infinitesimo della trave delimitato dalle sezioni rette  $\Sigma(z)$  e  $\Sigma(z+dz)$ ; varrà che:

$$\epsilon(z) = \frac{dw(z)}{dz}$$



$$\hookrightarrow w(z+dz) - w(z) = \cancel{w(z)} + \frac{dw(z)}{dz} dz + \underbrace{o(dz^2)}_{\approx 0} - \cancel{w(z)} = \frac{dw(z)}{dz} dz$$

$$\text{Ma } \frac{\Delta w}{dz} = \frac{\Delta l}{l_0} = \epsilon_z \rightarrow \epsilon_z = \frac{dw}{dz} \text{ c.v.d.}$$

• Sviluppo in serie di  $w(z+dz)$

## DEFORMAZIONE FLESSIONALE NEL PIANO $y$ - $z$ :

$$\theta_x(z) = \frac{d\varphi_x(z)}{dz}$$

Come suggerisce il nome, tale deformazione implica la flessione della trave, ovvero una rotazione intorno all'asse  $x$  (la trave appartiene ancora al piano  $x$ - $y$ ). Volendo nuovamente studiare un elemento di trave delimitato da due sezioni rette, la distanza tra i baricentri sarà:

$$\theta_x dz = \varphi_x(z+dz) - \varphi_x(z) = \cancel{\varphi_x(z)} + \frac{d\varphi_x(z)}{dz} dz + \underbrace{o(dz^2)}_{\approx 0} - \cancel{\varphi_x(z)} = \frac{d\varphi_x(z)}{dz} dz$$

$$\hookrightarrow \theta_x = \frac{d\varphi_x}{dz} \text{ c.v.d.}$$

NOTA: analogamente, nel piano  $x$ - $z$ :

$$\theta_y = \frac{d\varphi_y(z)}{dz}$$

## SCORRIMENTO ANGOLARE AL TAGLIO SECONDO $y$ :

Approssimando l'angolo alla sua tangente (ipotesi lineare), l'abbassamento della trave nella configurazione deformata è pari a:

$$\frac{dv(z)}{dz}$$

$\mu_y$  è l'angolo compreso tra l'ortogonale alla sezione retta deformata e l'inclinazione dell'elemento infinitesimo.



$$\mu_y(z) = \frac{dv(z)}{dz} + \varphi_x(z)$$

NOTA: analogamente, secondo  $x$ :

$$\mu_x(z) = \frac{dv(z)}{dz} + \varphi_y(z)$$

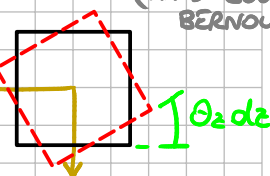
## DEFORMAZIONE TORSIONALE (O ANGOLO UNITARIO DI TORSIONE):

La rotazione  $\varphi_z$  è detta "torsione" perché avviene intorno all'asse della trave.

$\theta_z dz \equiv$  rotazione relativa torsionale tra sez. rette poste a distanza infinitesima

$$\text{Naturalmente: } \theta_z dz = \varphi_z(z+dz) - \varphi_z(z) = \cancel{\varphi_z(z)} + \frac{d\varphi_z(z)}{dz} dz + \underbrace{o(dz^2)}_{\approx 0} - \cancel{\varphi_z(z)}$$

$$\text{ovvia } \theta_z(z) = \frac{d\varphi_z(z)}{dz}$$



\*  $\approx 0$   
(IP. DI EULERO-BERNOULLI)

Le relazioni tra le deformazioni generalizzate e gli spostamenti generalizzati sono note come

$$\epsilon, \gamma, \theta$$

$$v, \varphi$$

EQUAZIONI DI CONGRUENZA INTERNA.

$$\begin{cases} \epsilon_1 = \frac{\partial u_x}{\partial x} = 0 \\ \epsilon_2 = \frac{\partial u_y}{\partial y} = 0 \\ \epsilon_3 = \frac{\partial u_z}{\partial z} = \frac{dv_z}{dz} - \frac{d\varphi_y}{dz} \cdot x + \frac{d\varphi_x}{dz} \cdot y \\ \gamma_{ij} = \frac{1}{2} \left( \frac{\partial u_i}{\partial x_j} + \frac{\partial u_j}{\partial x_i} \right) \end{cases}$$

$$\Rightarrow \begin{cases} \epsilon_z(z) = \epsilon(z) - \theta_y(z) \cdot x + \theta_x(z) \cdot y \\ \gamma_{xz}(z) = \gamma_x(z) - \theta_z(z) \cdot y \\ \gamma_{yz}(z) = \gamma_y(z) + \theta_z(z) \cdot x \end{cases}$$

CASO TRAVE PIANA  
TEORIA DI EULERO-BERNOULLI

## SPOSTAMENTI GENERALIZZATI

$$\underline{v}(z) [m] \quad \varphi(z) [rad]$$

## DEFORMAZIONI GENERALIZZATE

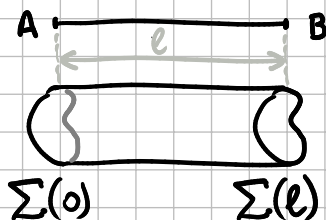
$$\varepsilon_z(z), \gamma_i(z) [-] \quad \theta_i(z) [m^{-1}]$$

In presenza di assegnate deformazioni generalizzate, il campo degli spostamenti generalizzati è:

- CINEMATICAMENTE COMPATIBILE con queste se sono rispettate le equazioni indefinite di congruenza - che ricordiamo essere, per piccoli spostamenti:

$$\gamma_{ij} = \frac{1}{2} \left( \frac{\partial u_i}{\partial x_j} + \frac{\partial u_j}{\partial x_i} \right) \rightarrow \varepsilon_{ii} = \frac{\partial u_i}{\partial x_i}$$

- CINEMATICAMENTE AMMISSIBILE con queste se sono rispettate le equazioni indefinite di congruenza E le equazioni di congruenza esterna - dette anche "condizioni a contorno di tipo cinematico":



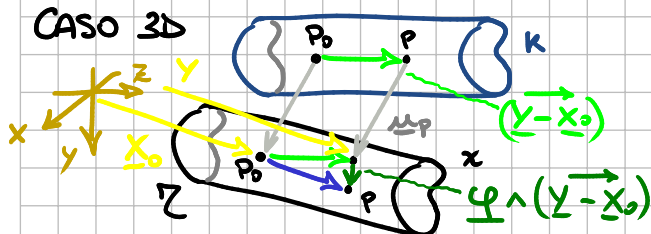
$$\Sigma(0) \text{ "A"} \begin{cases} \underline{v}(0) = \underline{v}_A^* \\ \varphi(0) = \varphi_A^* \end{cases}$$

$$\Sigma(l) \text{ "B"} \begin{cases} \underline{v}(l) = \underline{v}_B^* \\ \varphi(l) = \varphi_B^* \end{cases}$$

$\underline{v}(z^*)$  PARTICOLARE  
NON  $\underline{v}(z)$  GENERICA

## SPOSTAMENTI RIGIDI DELLA TRAVE E CENTRO DI ROTAZIONE

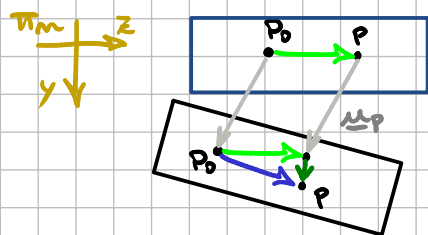
### CASO 3D



Sia  $\{0, x, y, z\}$  la terna globale,  
sia scelto un polo  $P_0$  di posizione  $\underline{X}_0$ ,  
sia  $\underline{Y}$  la posizione di un generico p.to P

Potremmo scrivere che:  $\underline{u}_P(\underline{Y}) = \underline{u}_{P_0}(\underline{X}) + \underline{\varphi} \wedge (\underline{Y} - \underline{X}_0)$

### CASO TRAVE PIANA



Analogamente:

$$\underline{u}_P(\underline{Y}) = \underline{u}_{P_0}(\underline{X}) + \underline{\varphi} \wedge (\underline{Y} - \underline{X}_0)$$

Però in questo caso:

$$\begin{cases} \underline{u}_{P_0} = [0, u_{P_0}^y, u_{P_0}^z] \\ \underline{u}_P = [0, u_P^y, u_P^z] \end{cases}$$

$$\begin{aligned} \varphi &\perp \pi_m \\ \varphi &= \varphi_x \hat{i}_x \end{aligned}$$

Ergo:

$$\underline{u}_{P_0}, \underline{u}_P, \underline{Y}, \underline{X}_0, \underline{\varphi} \wedge (\underline{Y} - \underline{X}_0) \begin{cases} \in \pi_m \\ \perp \varphi \end{cases}$$

## CENTRO DI ROTAZIONE

Sia assegnato ad una generica trave un campo di spostamenti rigidi infinitesimi come quello proposto sopra; è possibile dimostrare che esiste ed è unico un punto C appartenente al piano y-z rispetto al quale il campo di spostamenti associato è caratterizzato da una rotazione pura intorno a C.

$$\exists C \equiv [x_{c1}, x_{c2}, x_{c3}] : \underline{u}_P(\underline{Y}) = \underline{\varphi} \wedge (\underline{Y} - \underline{X}_C) \quad \forall P \in \mathcal{Z} (\subseteq \pi_m)$$

$$\text{Ovvero : } \underline{u}_C(\underline{X}_C) = \underline{0}$$

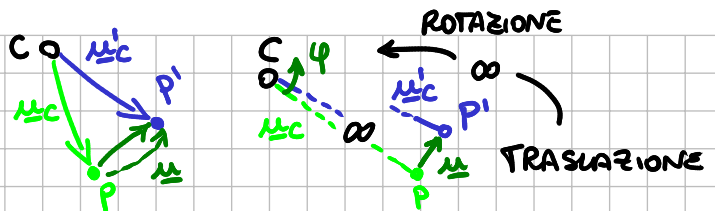
Questo perché è possibile assimilare una traslazione ad una rotazione (e viceversa) se il centro di rotazione è infinitamente distante dal punto P: il vettore spostamento rispetto ad punto C, dove la distanza da tale punto è infinitamente lunga, è assimilabile alla traiettoria di un punto che ruota lungo una circonferenza di raggio infinito.

Maggiore è la distanza tra P e C, più è "dolce" la curva, quindi meno marcata la curvatura. Ripensando alla Meccanica Razionale:

$$\lim_{\rho \rightarrow \infty} \left( \frac{1}{\rho} \right) = 0$$

$\frac{1}{\rho} \doteq$  "CURVATURA"

$\rho \doteq$  "RAGGIO DI CURVATURA"



Tutto questo ci permette di semplificare il problema esprimendo il campo degli spostamenti con una rotazione pura - anziché come la somma di una rotazione ed una traslazione. Quando in seguito impareremo a localizzare un centro di rotazione per costruzione (metodo grafico) questa semplificazione sarà anche particolarmente utile per lo studio della labilità di un sistema statico, ossia per vedere se lo stesso è capace o meno di esibire spostamenti infinitesimi di qualsiasi tipo e in qualsiasi direzione.

$C \doteq$  "CENTRO ASSOLUTO":  $\underline{u}(Y) = \varphi \wedge (Y - X_c)$

$\|Y - X_c\| \doteq$  "DISTANZA DAL CENTRO":  $\|\underline{u}\| = \|\varphi\| \cdot \|Y - X_c\| \cdot \sin(90^\circ)$

$$\Leftrightarrow d = \|Y - X_c\| = \frac{\|\underline{u}\|}{\|\varphi\|} [10^{-m} m]$$

Se P esibisce una traslazione pura:  $\varphi \rightarrow 0$ ,  $\lim_{\varphi \rightarrow 0} d = +\infty$